

УДК 624:131.22

**ФІЗИКО-ХІМІЧНІ ОСНОВИ ВИРОБНИЦТВА МОДИФІКОВАНИХ
ЦЕМЕНТІВ, БЕТОНІВ**

В.І. Большаков д.т.н., проф., А.П. Приходько к.т.н., проф. ,

Л.С. Савін д.т.н., проф., А.А. Салей к.т.н., доц. ,*

Ю.Л. Савін к.т.н., доц., Н.С. Сторчай к.т.н., ас.

Придніпровська державна академія будівництва та архітектури

**ДВНЗ „Український державний хіміко-технологічний університет”*

м. Дніпропетровськ

Проблеми. Розвиток науково-технічного прогресу в народному господарстві України вимагає підвищення ефективності використання природних матеріальних ресурсів і зниження паливно-енергетичних витрат на виробництво цементу, бетонів. Навіть часткова заміна природних сировинних матеріалів відходами виробництв, що пройшли теплову обробку, може дати значний економічний ефект. Одним з напрямків по шляху зниження сумарних витрат на виробництво цементу і підвищення конкурентноздатності продукції є одержання багатоконпонентних цементів. Одержання зазначених клінкерів базується на використанні багатотоннажних відходів Вільногірського гірничо-металургійного комбінату (ВГМК). У зв'язку з цим розробка теоретичних основ спрямованого формування фазового складу продуктів високотемпературного синтезу і гідратації в системах, характерних для цементів загально будівельного призначення, є актуальною проблемою, що має велике народногосподарське значення, і дозволяє розширити уявлення що до кінетики і механізму мінералоутворення і гідратації в цементних системах, а також розробити науково-обґрунтовані рекомендації з ефективного використання відходів ВГМК в технології одержання клінкерів і цементів, бетонів.

Мета і задачі роботи. Метою роботи є розробка наукових основ спрямованого формування фазового складу клінкерів і продуктів гідратації цементів з їх застосуванням для одержання бетонів, а також розробка на базі отриманих закономірностей науково-обґрунтованих рекомендацій з ефективного використання відходів гірничо-металургійного комбінату в технології виробництва клінкерів, цементів, бетонів, що характеризуються ефективними властивостями.

Для досягнення поставленої мети необхідно вирішити наступні задачі:

- виконати термодинамічний аналіз реакцій мінералоутворення в системі, що включає мінерали рідко металевої сировини, кальцит, каолінит і гематит;

- здійснити термодинамічний аналіз реакцій у системі $CaCO_3 - Fe_2O_3 - SiO_2 - CaSO_4 - TiO_2 - ZrO_2$ й установити послідовність реакцій при спільному синтезі трьохкальцієвого силікату і сульфоферитів кальцію та ін.;

- виконати термодинамічний аналіз реакцій гідратації в системі $3CaO \cdot 3Fe_2O_3 \cdot CaSO_4 - Ca(OH)_2 - CaSO_4 - H_2O$ і $2CaO \cdot Fe_2O_3 \cdot CaSO_4 - Ca(OH)_2 -$

$CaSO_4 - H_2O - TiO_2$ і ZrO_2 HfO_2 і встановити області й умови стабільного існування гідратних новоутворювань;

- вивчити кінетику і механізм мінералоутворення при спільному синтезі трьохкальцієвого силікату і сульфоферитів кальцію модифікованих s-, p-, d-елементами, дослідити вплив складу сульфоферитів кальцію на міцнісні і деформаційні показники в'язучих композицій;

- розробити методику розрахунку складу сировинної суміші для одержання клінкера заданого мінералогічного складу;

- дослідити послідовність мінералоутворення при синтезі клінкерів і встановити оптимальні режими їх випалу в залежності від природи застосовуваного залізистого відходу Вільногорського гірничо-металургійного комбінату;

- обґрунтувати вибір речовинного складу сировинних сумішей для випалу клінкера і в'язучих композицій, що володіють спеціальними властивостями;

- визначити основні будівельно-технічні і спеціальні властивості синтезованих клінкерів і здійснити оптимізацію складів в'язучих композицій по міцності при стиску і розширенні;

- розробити науково – технічні основи виробництва бетонів, модифікованих техногенними відходами, які вміщують s – p – d – елементи;

- розробити нормативно-технічну документацію на випуск клінкерів і цементів з їх застосуванням;

- розробити пропозиції по реалізації результатів досліджень у промисловому виробництві і у навчальному процесі.

У роботі представлені результати теоретичних досліджень процесів мінералоутворення в системах $CaCO_3 - nCaO \cdot Al_2O_3 \cdot pSiO_2 - xCaO \cdot MgO \cdot zSiO_2 - Al_2O_3 \cdot 2SiO_2 \cdot 2H_2O - Fe_2O_3$, $CaO - Fe_2O_3 - SiO_2 - CaSO_4$, $3CaO \cdot 3Fe_2O_3 \cdot CaSO_4 - Ca(OH)_2 - CaSO_4 - H_2O$ і $2CaO \cdot Fe_2O_3 \cdot CaSO_4 - Ca(OH)_2 - CaSO_4 - H_2O$ з метою встановлення можливості спрямованого мінералоутворення при синтезі і гідратації й обґрунтування вибору речовинного складу цементів.

Термодинамічний аналіз реакцій у системі $CaCO_3 - 2CaO \cdot MgO \cdot 2SiO_2 - CaO \cdot MgO \cdot SiO_2 - \beta - CaO \cdot SiO_2 - 2CaO \cdot Al_2O_3 \cdot SiO_2 - Al_2O_3 \cdot 2SiO_2 \cdot 2H_2O - \alpha - Fe_2O_3$ дозволив встановити термодинамічну перевагу протікання реакцій у присутності мінералів, характерних для доменного гранульованого шлаку (табл. 1). Графічна інтерпретація результатів термодинамічного аналізу (рис.1) свідчить про те, що з енергетичної точки зору найбільш переважними учасниками реакцій є окерманіт, β -воластоніт і геленіт.

Результати розрахунків показують, що протікання реакцій за участю шлакових мінералів і карбонату кальцію можливе при температурах значно більш низьких, чим температура декарбонізації самого карбонату кальцію. При температурі 1599 К завершуються твердофазні процеси формування мінералогічного складу портландцементного клінкера за участю мінералів доменного гранульованого шлаку. Утворення трьохкальцієвого силікату відбувається при участі рідкої фази, що формується в результаті плавлення чотирикальцієвого алюмоферита при 1688 К.

Таблиця 1

Хімічні реакції і фазові перетворення при синтезі портландцементного клінкера

№ реакції	Рівняння реакцій	Температура, К
1	$\alpha\text{-Fe}_2\text{O}_3(\text{к}) + \text{CaCO}_3(\text{к}) \rightarrow \text{CaO}\cdot\text{Fe}_2\text{O}_3(\text{к}) + \text{CO}_2(\text{г})$	594
2	$2\text{CaO}\cdot\text{MgO}\cdot 2\text{SiO}_2(\text{к}) + \text{CaCO}_3(\text{к}) \rightarrow 3\text{CaO}\cdot\text{MgO}\cdot 2\text{SiO}_2(\text{к}) + \text{CO}_2(\text{г})$	874
3	$\text{CaO}\cdot\text{MgO}\cdot\text{SiO}_2(\text{к}) + \text{Al}_2\text{O}_3\cdot 2\text{SiO}_2\cdot 2\text{H}_2\text{O}(\text{к}) + 3\text{CaCO}_3(\text{к}) \rightarrow \text{CaO}\cdot\text{Al}_2\text{O}_3(\text{к}) + \text{MgO}(\text{к}) + 3[\beta\text{-CaO}\cdot\text{SiO}_2]_{(\text{к})} + 2\text{H}_2\text{O}(\text{г}) + 3\text{CO}_2(\text{г})$	926
4	$2\text{CaO}\cdot\text{MgO}\cdot 2\text{SiO}_2(\text{к}) + \text{Al}_2\text{O}_3\cdot 2\text{SiO}_2\cdot 2\text{H}_2\text{O}(\text{к}) + \beta\text{-CaO}\cdot\text{SiO}_2(\text{к}) + 8\text{CaCO}_3(\text{к}) \rightarrow \text{CaO}\cdot\text{Al}_2\text{O}_3 + \text{MgO}(\text{к}) + 5[\beta\text{-2CaO}\cdot\text{SiO}_2]_{(\text{к})} + 2\text{H}_2\text{O}(\text{г}) + 8\text{CO}_2(\text{г})$	989
5	$\text{Al}_2\text{O}_3\cdot 2\text{SiO}_2\cdot 2\text{H}_2\text{O}(\text{к}) \rightarrow \text{Al}_2\text{O}_3\cdot 2\text{SiO}_2(\text{к}) + 2\text{H}_2\text{O}(\text{г})$	999
6	$2\text{CaO}\cdot\text{Al}_2\text{O}_3\cdot\text{SiO}_2(\text{к}) + \beta\text{-CaO}\cdot\text{SiO}_2(\text{к}) + 2\text{CaCO}_3(\text{к}) \rightarrow \text{CaO}\cdot\text{Al}_2\text{O}_3(\text{к}) + 2[\beta\text{-2CaO}\cdot\text{SiO}_2(\text{к}) + 2\text{CO}_2(\text{г})]$	1076
7	$7[\text{CaO}\cdot\text{Al}_2\text{O}_3]_{(\text{к})} + 5\text{CaCO}_3(\text{к}) \rightarrow 12\text{CaO}\cdot 7\text{Al}_2\text{O}_3(\text{к}) + 5\text{CO}_2(\text{г})$	1121
8	$\text{CaO}\cdot\text{Fe}_2\text{O}_3(\text{к}) + \text{CaCO}_3(\text{к}) \rightarrow 2\text{CaO}\cdot\text{Fe}_2\text{O}_3(\text{к}) + \text{CO}_2(\text{г})$	1156
9	$\text{CaCO}_3(\text{к}) \rightarrow \text{CaO}(\text{к}) + \text{CO}_2(\text{г})$	1159
10	$3\text{CaO}\cdot\text{MgO}\cdot 2\text{SiO}_2(\text{к}) + 12\text{CaO}\cdot 7\text{Al}_2\text{O}_3(\text{к}) + 10\text{SiO}_2 \rightarrow 7[3\text{CaO}\cdot\text{Al}_2\text{O}_3]_{(\text{к})} + \text{MgO}(\text{к}) + 2[\beta\text{-CaOSiO}_2]_{(\text{к})}$	1274
11	$2\text{CaO}\cdot\text{Al}_2\text{O}_3\cdot\text{SiO}_2(\text{к}) + 2\text{CaO}\cdot\text{Fe}_2\text{O}_3(\text{к}) + 2\text{CaO}(\text{к}) \rightarrow 4\text{CaO}\cdot\text{Al}_2\text{O}_3\cdot\text{Fe}_2\text{O}_3(\text{к}) + \beta\text{-2CaO}\cdot\text{SiO}_2(\text{к})$	1599
12	$4\text{CaO}\cdot\text{Al}_2\text{O}_3\cdot\text{Fe}_2\text{O}_3(\text{ж}) \rightarrow 4\text{CaO}\cdot\text{Al}_2\text{O}_3\cdot\text{Fe}_2\text{O}_3(\text{к})$	1688
13	$4\text{CaO}\cdot\text{Al}_2\text{O}_3\cdot\text{Fe}_2\text{O}_3(\text{к}) + \beta\text{-2CaO}\cdot\text{SiO}_2 + \text{CaO} \rightarrow 3\text{CaO}\cdot\text{SiO}_2(\text{к}) + 3\text{CaO}\cdot\text{Al}_2\text{O}_3(\text{к}) + 2\text{CaO}\cdot\text{Fe}_2\text{O}_3(\text{к})$	1688
14	$2\text{CaO}\cdot\text{Fe}_2\text{O}_3(\text{к}) \rightarrow 2\text{CaO}\cdot\text{Fe}_2\text{O}_3(\text{ж})$	1708
15	$2\text{CaO}\cdot\text{Fe}_2\text{O}_3(\text{к}) + 3\text{CaO}\cdot\text{Al}_2\text{O}_3(\text{к}) + \beta\text{-2CaO}\cdot\text{SiO}_2(\text{к}) \rightarrow 4\text{CaO}\cdot\text{Al}_2\text{O}_3\cdot\text{Fe}_2\text{O}_3(\text{к}) + 3\text{CaO}\cdot\text{SiO}_2(\text{к})$	1708

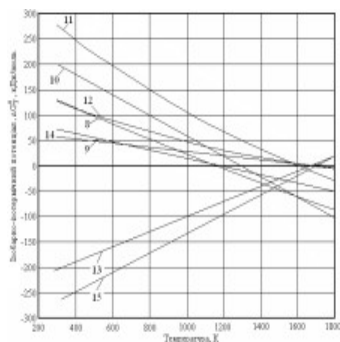
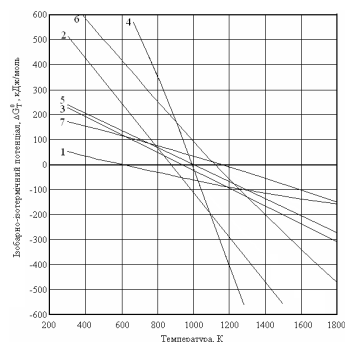


Рис. 1. Залежність ізобарно-ізотермічного потенціалу від температури для реакцій, наведених в табл. 1

Синтез алітосульфферитного клінкера представлений у вигляді послідовних реакцій і хімічних перетворень, що розташовані в порядку зростання температури хімічної рівноваги (табл. 2, рис.2).

Як показують виконані розрахунки, у досліджуваній системі формування у твердій фазі низькоосновного сульфферита кальцію термодинамічно ймовірно при 770 К, а високо основного - при 1043 К. При температурі 1489К, рідка фаза, що утворюється за рахунок плавлення монокальцієвого ферита, сприяє формуванню трикальцієвого силікату й у залежності від вихідної основності системи кінцеві продукти реакцій будуть представлені крім трьохкальцієвого силікату сульфферитом кальцію тієї чи іншої основності.

Таблиця 2

Послідовність протікання хімічних реакцій у досліджуваній системі

№ з/п	Рівняння хімічних реакцій	Температура хімічної рівноваги, К
1	$\text{CaCO}_3(\text{к}) + \beta\text{-SiO}_2 \rightarrow \beta\text{-CaO}\cdot\text{SiO}_2(\text{к}) + \text{CO}_2(\text{г})$	544
2	$\text{CaCO}_3(\text{к}) + \alpha\text{-Fe}_2\text{O}_3(\text{к}) \rightarrow \text{CaO}\cdot\text{Fe}_2\text{O}_3(\text{к}) + \text{CO}_2(\text{г})$	657
3	$3(\text{CaO}\cdot\text{Fe}_2\text{O}_3(\text{к})) + \beta\text{-CaSO}_4(\text{к}) \rightarrow 3\text{CaO}\cdot 3\text{Fe}_2\text{O}_3\cdot\text{CaSO}_4(\text{к})$	770
4	$2(\beta\text{-CaO}\cdot\text{SiO}_2(\text{к})) + 3\text{CaCO}_3(\text{к}) \rightarrow 2(2\text{CaO}\cdot\text{SiO}_2)\cdot\text{CaCO}_3(\text{к}) + 2\text{CO}_2(\text{г})$	772
5	$\text{CaO}\cdot\text{Fe}_2\text{O}_3(\text{к}) + \alpha\text{-CaO}\cdot\text{SiO}_2(\text{к}) + 2\text{CaCO}_3(\text{к}) \rightarrow 2\text{CaO}\cdot\text{Fe}_2\text{O}_3(\text{к}) + \beta\text{-2CaO}\cdot\text{SiO}_2(\text{к}) + 2\text{CO}_2(\text{г})$	997
6	$3\text{CaO}\cdot 3\text{Fe}_2\text{O}_3\cdot\text{CaSO}_4(\text{к}) + 2\beta\text{-CaSO}_4(\text{к}) + 3\text{CaCO}_3(\text{к}) \rightarrow 3(2\text{CaO}\cdot\text{Fe}_2\text{O}_3\cdot\text{CaSO}_4)_{(\text{к})} + 3\text{CO}_2(\text{г})$	1043
7	$\text{CaCO}_3(\text{к}) \rightarrow \text{CaO}(\text{к}) + \text{CO}_2(\text{г})$	1154
8	$2(2\text{CaO}\cdot\text{SiO}_2)\cdot\text{CaCO}_3(\text{к}) \rightarrow 2(\beta\text{-2CaO}\cdot\text{SiO}_2)_{(\text{к})} + \text{CaO}(\text{к}) + \text{CO}_2(\text{г})$	1158
9	$\text{CaO}\cdot\text{Fe}_2\text{O}_3(\text{к}) \rightarrow \text{CaO}\cdot\text{Fe}_2\text{O}_3(\text{ж})$	1489
10	$3\text{CaO}\cdot\text{Fe}_2\text{O}_3(\text{к}) + \alpha\text{-CaSO}_4(\text{к}) + \beta\text{-2CaOSiO}_2(\text{к}) + \text{CaO}(\text{к}) \rightarrow 3\text{CaO}\cdot 3\text{Fe}_2\text{O}_3\cdot\text{CaSO}_4(\text{к}) + 3\text{CaOSiO}_2(\text{к})$	1503
11	$\text{CaO}\cdot\text{Fe}_2\text{O}_3(\text{к}) + \alpha\text{-CaSO}_4(\text{к}) + \beta\text{-2CaOSiO}_2(\text{к}) + 2\text{CaO}(\text{к}) \rightarrow 2\text{CaO}\cdot\text{Fe}_2\text{O}_3\cdot\text{CaSO}_4(\text{к}) + 3\text{CaOSiO}_2(\text{к})$	1515

Термодинамічними розрахунками встановлено, що низькоосновний сульфферит кальцію має меншу реакційну здатність по відношенню до води, ніж високоосновний. При їх гідратації параметри розчину, що утвориться на початковій стадії процесу, змінюються по площині, що лежить між насиченими розчинами ($\text{pH}=14$, $\lg[\text{Ca}^{2+}] = 0$, $\lg[\text{Fe}(\text{OH})_4^-] = 0$). При цьому внаслідок гідролізу іонів $\text{Fe}(\text{OH})_4^-$, параметри розчину будуть змінюватися

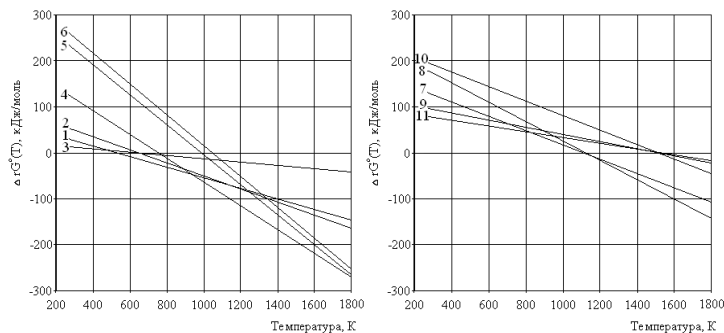


Рис. 2. Залежність ізобарно-ізоермічного потенціалу від температури для реакцій, які наведені в табл. 2

по площині, близької до площини $\text{Fe}(\text{OH})_3^{\text{AM}}$. Площина, що відповідає рівновазі FeOOH з розчином з'являється лише в результаті тривалого старіння $\text{Fe}(\text{OH})_3$. В міру росту концентрації іонів у розчині його параметри входять в область існування $\text{C}_3\text{F}(\text{C}\bar{\text{S}})_3\text{H}_{32}$ або $\text{Fe}(\text{OH})_3$ (рис. 3, 4).

У реальних умовах гідратації і твердіння вихідні сульфферити кальцію не можуть прийти в рівновагу зі своїми власними розчинами, тому що параметри розчину, прагнучи до рівноваги, завжди будуть знаходитись в полі стійкості одного з гідратних з'єднань. У залежності від кінетики процесу з розчину буде виділятися той чи інший гідрат, концентрація іонів у розчині буде зменшуватися й імовірність досягнення рівноваги буде прагнути до нескінченно малої величини.

Результати проведеного термодинамічного аналізу свідчать про те, що при гідратації сульфферитів кальцію незалежно від їх основності з метою досягнення максимального виходу у твердіючу систему компонента (залізного еtringіту) необхідно вводити і вапно і гіпс, тому що в протилежному випадку продукти гідратації сульфферитів кальцію будуть представлені крім еtringіту аморфним гідроксидом заліза, що не сприяє розширенню структури, а лише ущільнює її. У зв'язку з цим з практичної точки зору доцільне використання сульфферитних клінкерів у складі композиційних в'язучих, що включають зазначені клінкери, гіпс і портландцементний клінкер, гідратація якого буде забезпечувати надходження в систему вапна. При цьому швидке його витрачання на утворення залізного еtringіту інтенсифікує гідратацію алітової фази портландцементного клінкера, збільшуючи швидкість набору міцності.

Проведені термодинамічні дослідження процесів синтезу клінкерів і їх гідратації дозволили теоретично обґрунтувати доцільність застосування відходів гірничо-металургійного комплексу в технології виробництва цементів, а також стали науковим обґрунтуванням розробки технології виробництва спеціальних цементів, що містять у своєму складі алітосульфферитні клінкера.

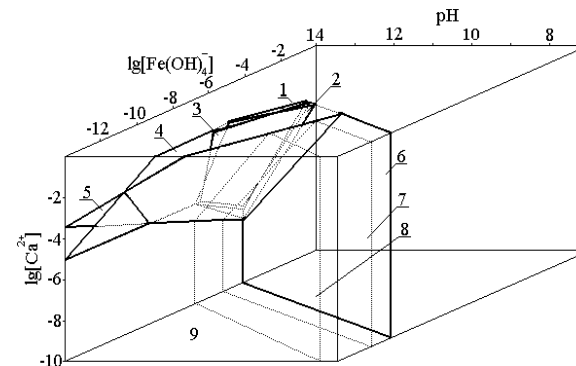


Рис. 3. Діаграма стану системи $\text{CaO} - \text{Fe}_2\text{O}_3 - \text{CaSO}_4 - \text{H}_2\text{O}$

- 1 – C_4FH_{13} ; 2 – C_3FH_6 ; 3 – $\text{C}_3\text{F}(\text{C}\bar{\text{S}})_3\text{H}_{32}$; 4 – $\text{Ca}(\text{OH})_2$; 5 – $\text{C}_3\text{F}(\text{C}\bar{\text{S}})_3\text{H}_{32}$; 6 – $\text{Fe}(\text{OH})_3^{\text{AM}}$; 7 – $\text{Fe}(\text{OH})_3^{\text{KP}}$; 8 – FeOOH^{KP} ; 9 – розчин

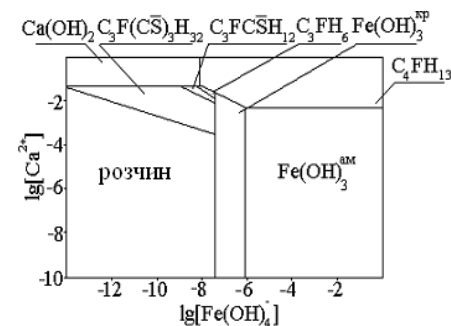


Рис. 4. Поля стійкості мінералів при pH розчину, рівному 12

Отримані результати досліджень мінералоутворення при використанні відходів гірничо-металургійного комбінату в якості сировини з метою виявлення особливостей утворення клінкера та направленим формуванням його мінералогічного складу, послужило основою для розробки технічної документації на виробництво клінкерів, цементів з їх використанням при виробництві бетонів.

Використання комплексу фізико-хімічних методів досліджень дозволило встановити, що розбіжності в температурах як початку, так і кінця термічного розкладання карбонатного компонента шлаковмісних сумішей зазначених вище дисперсностей складають 10-20K. Близькі розрахункові значення енергії

активації процесу декарбонізації сировинних сумішей з різною дисперсністю і практична ідентичність у послідовності мінералоутворення при випалі зазначених сировинних сумішей, а також встановлені значення температур, при яких вміст вільного оксиду кальцію в продуктах випалу не перевищує 1 мас. %, свідчать про практично незалежний вплив дисперсності сировинної суміші в обраному діапазоні її зміни на кінетико-енергетичні параметри випалу клінкеру.

Вивчення мінералоутворення в системі $\text{CaO-SiO}_2\text{-Fe}_2\text{O}_3\text{-CaSO}_4$ при співвідношенні оксидів, розрахованих на одержання трьохкальцієвого силікату і сульфоферитів кальцію, показало, що в кінцевих продуктах випалу в залежності від основності системи формуються й одночасно співіснують зазначені вище мінерали, що погоджується з результатами проведених термодинамічних досліджень. Дана обставина визначила розробку методики розрахунку складу сировинної суміші для одержання алітосульфоферитного клінкеру заданого мінералогічного складу.

Запропоновано здійснювати розрахунок складу сировинної суміші в залежності від проектованої основності сульфоферита кальцію за коефіцієнтом насичення (KH) і сульфатному модулю (S_m), вираження для яких мають наступний вид:

- для одержання сульфоферитної фази складу $\text{C}_3\text{F}_3\text{C}\bar{\text{S}}$

$$\text{KH} = \frac{\text{CaO} - 0,468 \cdot \text{Fe}_2\text{O}_3}{2,8 \cdot \text{SiO}_2}; S_m = \frac{\text{SO}_3}{0,167 \cdot \text{Fe}_2\text{O}_3};$$

- для одержання сульфоферитної фази складу $\text{C}_2\text{FC}\bar{\text{S}}$

$$\text{KH} = \frac{\text{CaO} - 1,053 \cdot \text{Fe}_2\text{O}_3}{2,8 \cdot \text{SiO}_2}; S_m = \frac{\text{SO}_3}{0,501 \cdot \text{Fe}_2\text{O}_3}.$$

Кількість мінералів в алітосульфоферитному клінкері пропонується розраховувати по наступним формулах:

$$\text{C}_3\text{S} = 3,80 \cdot \text{SiO}_2; \text{C}_2\text{FC}\bar{\text{S}} = 2,555 \cdot \text{Fe}_2\text{O}_3;$$

$$\text{C}_3\text{F}_3\text{C}\bar{\text{S}} = 1,635 \cdot \text{Fe}_2\text{O}_3$$

Запропоновані також формули для розрахунку складу сировинної суміші по зазначених модульних характеристиках при наявності значимих кількостей у сировинних матеріалах глинозему, а також мінералогічного складу клінкера, що включає одночасно низько- та високоосновний сульфоферити кальцію.

Комплексні дослідження кінетики і механізму мінералоутворення при випалі клінкерів дозволили встановити, що процес синтезу алітосульфоферитного клінкера задовільно описується рівнянням Таммана-Фишбека, тобто процес мінералоутворення на різних стадіях лімітується тими чи іншими кінетичними факторами (швидкістю дифузії, швидкістю власне хімічної реакції, швидкістю утворення зародків нових кристалічних фаз та ін.).

В роботі проведені дослідження можливості використання відходів збагачення ільменитової руди Вільногірського гірничо-металургійного комбінату (ВГМК) в якості алюмосилікатного компонента сировинної суміші для випалу клінкера.

Зазначений матеріал є високодисперсним порошком світлокоричневого кольору. Рентгенофазовий та комплексний термічний аналіз показали наявність в ньому в загальні таких мінералів як монтморилоніт ($d = (3,06; 2,606; 1,31) \cdot 10^{-10}$ м, ендоефект при температурі 130 °С, зв'язаний з видаленням адсорбційної води, ендоефект при температурі 220 °С, зв'язаний з видаленням міжплоскостної води), каолініт ($d = (7,14; 3,57; 2,29; 1,99; 1,67; 1,65; 1,48; 1,31) \cdot 10^{-10}$ м, максимальний ендоефект при температурі 550 °С, зв'язаний з видаленням конструкційної води і зруйнуванням кристалічної решітки; екзоэффект при 950 °С, зв'язаний з кристалізацією аморфного кремнезему або утворення муліту або силіманіту) і β -кварц ($d = (4,27; 3,35; 2,47; 2,15; 1,82; 1,54; 1,38; 1,37) \cdot 10^{-10}$ м) (рис. 5, 6).

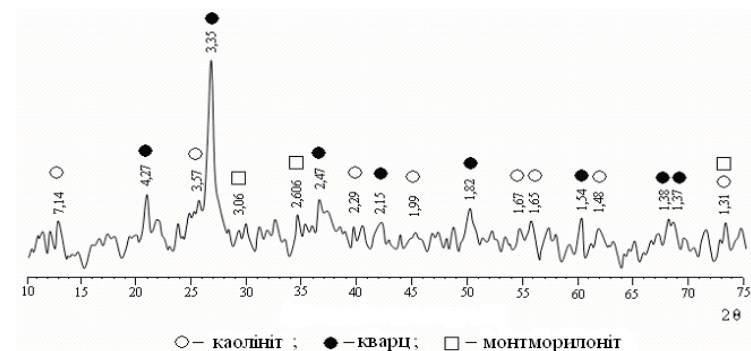


Рис. 5. Дифрактограма проби відходів збагачення ільменитової руди Вільногірського гірничо-металургійного комбінату

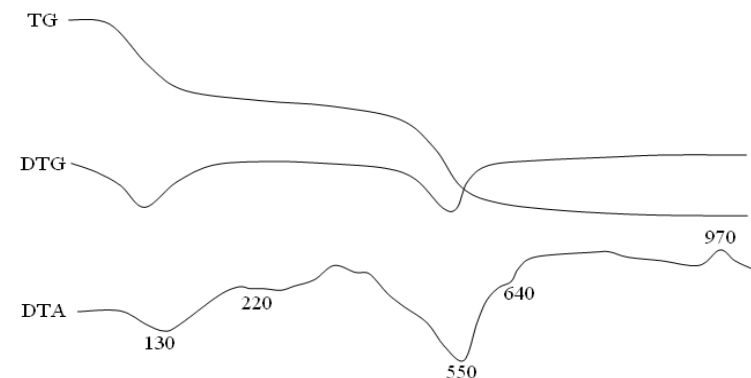


Рис. 6. Комплексний термічний аналіз відходів збагачення ільменитової руди Вільногірського гірничо-металургійного комбінату

Хімічний склад представленої проби матеріалу, який визначався згідно ГОСТ 5382, представлено в табл. 3.

Таблиця 3

Хімічний склад відходів збагачення, мас. %

SiO ₂ агал	SiO ₂ незв'язан	Al ₂ O ₃	Fe ₂ O ₃	CaO	MgO	SO ₃	R ₂ O	ВРВ
62,50	30,40	20,50	2,90	1,00	0,80	0,21	0,44	10,70

В якості компонентів сировинних сумішей для випалу клінкера використовували матеріали, хімічний склад яких наведено в табл. 4

Таблиця 4

Хімічний склад використаних матеріалів, мас. %

Матеріал	SiO ₂	Al ₂ O ₃	Fe ₂ O ₃	CaO	MgO	SO ₃	ВРВ
Вапняк	4,00	1,32	0,95	52,08	2,05	-	39,15
Доменний гранульований шлак	39,37	6,92	0,50	47,68	5,92	0,21	-
Ставролітовий концентрат	32,03	49,18	15,39	1,49	1,19	0,73	-
Колошниковий пил	9,82	0,58	59,05	8,63	1,09	1,42	19,41

Розрахунок складів сумішей виконувався за коефіцієнтом насичення (КН=0,92), силікатному (n = 2,8) і алюмінатному (p = 1,6) модулях. Результати розрахунків наведені в табл. 5-7. Фактичний хімічний і розрахунковий мінералогічний склад синтезованих клінкерів наведено в табл. 8.

Таблиця 5

Співвідношення компонентів у сировинних сумішах, мас. %

№ суміші	Вапняк	Доменний гранульований шлак	Ставролітовий концентрат	Відходи збагачення	Колошниковий пил
1	62,84	33,69	1,29	-	2,18
2	67,85	24,97	-	5,03	2,15

Таблиця 6

Витрати матеріалів на 1 т клінкера, кг

№ суміші	Вапняк	Доменний гранульований шлак	Ставролітовий концентрат	Відходи збагачення	Колошниковий пил
1	838,1	450,4	17,2	-	29,1
2	935,7	344,3	-	69,4	29,6

Таблиця 7

Розрахунковий хімічний і мінералогічний склад клінкера, мас. %

№ клінкера	SiO ₂	Al ₂ O ₃	Fe ₂ O ₃	CaO	MgO	SO ₃	C ₃ S	C ₂ S	C ₃ A	C ₄ AF
1	21,88	4,81	3,01	65,35	4,81	0,15	63,19	15,05	7,65	9,14
2	21,92	4,82	3,01	65,48	4,47	0,13	63,32	15,08	7,66	9,16

Таблиця 8

Фактичний хімічний і розрахунковий мінералогічний склад клінкера, мас. %

№ клінкера	SiO ₂	Al ₂ O ₃	Fe ₂ O ₃	CaO	MgO	SO ₃	C ₃ S	C ₂ S	C ₃ A	C ₄ AF
1	21,72	4,56	3,44	64,12	3,50	0,10	62,38	14,86	6,25	10,46
2	21,30	4,68	3,56	64,00	3,68	0,10	61,51	14,65	6,36	10,82

Попередньо подрібнені до залишку на ситі № 008, рівному 10-12 мас. %, сировинні матеріали змішувались у розрахункових співвідношеннях і піддавались додатковому сумісному подрібненню. З отриманих сировинних сумішей формувалась таблетка діаметром 30 мм і висотою 10 мм (тиск пресування 30 МПа). Випал здійснювався в печі з карбіднокремнієвим нагрівачем до температури 1450 °С з ізотермічною витримкою 40 хвилин. Охолодження продуктів випалу – різке на повітрі. Склад вільного оксиду кальцію в отриманих клінкерах, яке визначалося етіл-гліцератним методом, складало 0,46 і 0,24 мас. % для клінкера № 1 і №2, відповідно, що свідчить о практично повній завершеності процесів мінералоутворення.

Синтезовані клінкера подрібнювались сумісно з гіпсовим каменем в кількості 2,0 мас. % у перерахунку на SO₃. Дисперсність отриманих цементів визначалась згідно ГОСТ 310.2, нормальна густина та строки тузавлення цементів – згідно ГОСТ 310.3, міцність на стиск – на зразках-кубах з розміром (1,41x1,41x1,41)·10⁻² м. Результати випробувань наведено в табл. 9.

Таблиця 9

Будівельно-технічні властивості цементів

№ цементу	R ₀₀₈ , мас. %	S _{уд} , м ² /кг	НГ, %	Строки тузавлення, год-хвил		Межа міцності на стиск, МПа у віці, доба		
				початок	кінець	2	7	28
1	10,4	382	28,5	2-40	5-20	24,4	46,7	75,8
2	11,2	376	29,0	3-00	5-40	26,2	45,9	74,2

Як видно з наведених результатів досліджень, при використанні відходів збагачення в якості алюмосилікатного компоненту сировинної суміші для випалу клінкера знижуються витрати доменного гранульованого шлаку при одночасному підвищенні витрат вапняку. За основними будівельно-технічними показниками цемент, отриманий з використанням відходів збагачення, практично не поступається таким при використанні ставролітового концентрату.

У дослідженнях були проведені випробування можливості використання відходів збагачення ільменітової руди Вільногірського гірничо-металургійного комбінату в складі будівельних розчинів.

Вказаний матеріал представляє собою високодисперсний порошок світлокоричневого кольору з вмістом фракції менш 40 мкм 98 мас. %.

В якості заповнювача використовували представлений пісок, який містить у своєму складі фракції 0,315 і 0,14 мм у кількості 40 і 60 мас. %, відповідно.

В якості в'язучого використовували портландцемент ПЦ I-500 ВАТ „Балцем” і портландцемент з добавками ПЦ II/A – Ш – 400 ВАТ „Кривой Рог Цемент” м. Кривий Ріг.

Відходи вводились поверх 100 % сухої суміші, яка містить 20 мас. % в'язучого і 80 мас. % піску. Випробування на міцність на стиск здійснювали на зразках-кубах (3,16x3,16x3,16) ·10⁻² м. Склади сумішей та їх основні будівельно-технічні властивості наведені в табл. 10, 11.

Таблиця 10

Будівельно-технічні властивості розчинів з використанням портландцементу ПЦ I-500 ВАТ „Балцем”

Кількість відходів у складі суміші, мас. %	Водотверде відношення	Межа міцності на стиск, МПа, у віці, доба			
		2	7	28	після пропарювання
0	0,17	3,61	4,91	10,03	5,26
3	0,17	3,93	5,87	12,95	6,89
6	0,19	4,26	6,24	13,80	7,38
9	0,20	3,61	5,76	13,09	6,89
12	0,22	2,84	5,51	11,42	6,12
15	0,25	2,29	5,30	9,56	5,90

Таблиця 11

Будівельно-технічні властивості розчинів з використанням портландцементу з добавками ПЦ II/A – Ш – 400 ВАТ „Кривой Рог Цемент”

Кількість відходів у складі суміші, мас. %	Водотверде відношення	Межа міцності на стиск, МПа, у віці, доба			
		2	7	28	після пропарювання
0	0,17	3,12	4,24	9,56	5,02
3	0,17	3,20	4,66	10,38	5,46
6	0,19	3,76	5,45	11,56	6,64
9	0,20	3,44	5,52	11,22	6,12
12	0,22	2,16	5,12	10,58	5,45
15	0,25	2,00	4,78	8,46	4,86

За представленими результатами випробувань видно, що введення у склад розчинної суміші вказаних відходів у кількості до 9 мас. % сприяє підвищенню міцності зразків як при пропарюванні, так і у всі строки нормального тужавлення. При подальшому підвищенні кількості відходів у суміші зростає водотверде відношення, а міцність зразків – знижується.

Висновки. У результаті виконання науково-дослідної роботи вирішуються актуальні науково-технічні проблеми й обґрунтовуються рекомендації з ефективного використання відходів гірничо-металургійного комбінату в технології виробництва клинкерів, цементів та бетонів з покращеними якісними показниками, які модифіковані техногенними відходами. Запропоновані будівельні матеріали з використанням техногенних відходів в склад яких входять s-p-d-елементи, відрізняються технологічністю, довговічністю та мають іноваційно-інвестиційну направленість.

ВИКОРИСТАНА ЛІТЕРАТУРА

1. Салей А.А., Шемшур В.А., Наумов О.С., Сиволоб Н.Б. Свойства композиционных цементов, включающих высокожелезистые сульфоминеральные клинкера // Придніпровський науковий вісник “Технічні науки”. – 1998. – №110 (177). – С. 53–56.
2. Салей А.А., Кулик В.А., Цыганков Г.Т., Наумов О.С., Шемшур В.А., Титарук Е.В. Методика расчета сырьевых смесей на получение сульфодерритных клинкеров // Вопросы химии и химической технологии. – 1999. – №4. – С. 22–25.
3. Салей А.А., Наумов О.С. Выявление закономерностей формирования минералогического состава сульфодерритных клинкеров // Вопросы химии и химической технологии. – 2001. – №2. – С. 75–78.
4. Салей А.А., Шеин В.И., Наумов О.С. Термодинамический анализ пиросиликатных реакций в системе CaO–Fe₂O₃–SiO₂–CaSO₄ / А.А.Салей, В.И.Шеин, О.С.Наумов // Вестник Национального технического университета “ХПИ”. – 2001. – Часть 1. – Вып.23. – С. 3–8.
5. Звіт про екологічний аудит філіалу „Вільно гірський гірничо-металургійний комбінат, ЗАТ „Кримський ТИТАН”, м.Дніпропетровськ.-2005, 126с.
6. Metallurgie zirkonia und gaefnia. Барышников Н.В., Гегер В.Э. Денисова Н.Д. Казайн А.А., Кожемякин В.А., Нехамкин Л.Г., Родякин В.В., Цылов Ю.А., М.: «Металлургия», 1979. 208 с.
7. Эколого-экономическое развитие и сохранение окружающей среды //Л.С. Савин, Е.А. Тимошенко, А.П. Приходько, Г.Г.Шматков, Ю.Л. Савин, С.В. Василенко // Вісник Придніпровської державної академії будівництва та архітектури. – Дніпропетровськ: ПДАБтаА. 2002. № 12. – с. 41–45.
8. Техничко-экономические интересы и охрана окружающей среды // Ю.Л. Савин, А.П. Приходько, Л.С. Савин, Е.Ю. Савин, С.И. Федоркин // Сб. научн. тр.: Строительство, материаловедение, машиностроение: Вып. 43. – «Инновационные технологии жизненного цикла объектов жилищно-гражданского, промышленного и транспортного назначения». – Днепропетровск: ПГАСиА. 2007. – с.443–445.
9. Рішення про видачу деклараційного патенту на корисну модель „Сировина суміш для отримання портландцементного клинкеру” / Большаков В.І., Приходько А.П., Савін Ю.Л., Савін Л.С., Баранов Ю.Д., Лисенко С.В., Шматков Г.Г. (реєстраційний номер заявки у 2008 04169 дата подання 02.04.2008)
10. Рішення про видачу деклараційного патенту на корисну модель „Будівельний розчин”/ Большаков В.І., Приходько А.П., Савін Ю.Л., Савін Л.С., Баранов Ю.Д., Лисенко С.В., Шматков Г.Г. (реєстраційний номер заявки у 2008 04168 дата подання 02.04.2008)